

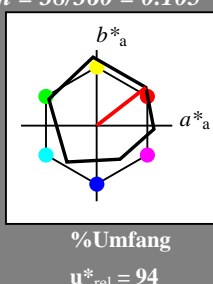
Eingabe: Farbmétrisches Offset-Reflektiv-System ORS18
für Bunton $h^* = lab^*h = 38/360 = 0.105$
 lab^*tch und lab^*nch

D50: Bunton O

LCH*Ma: 48 82 38

olv*Ma: 1.0 0.0 0.0

Dreiecks-Helligkeit

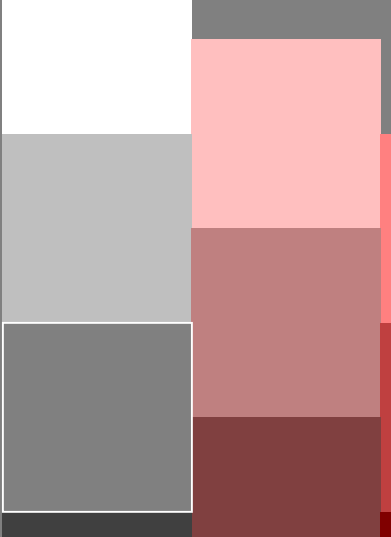


ORS18; adaptierte CIELAB-Daten

	$L^*=L^*_a$	a^*_a	b^*_a	$C^*_{ab,a}$	$h^*_{ab,a}$
O _{Ma}	47.94	65.05	50.54	82.38	38
Y _{Ma}	91.0	-4.72	90.58	90.7	93
L _{Ma}	50.9	-63.18	34.98	72.22	151
C _{Ma}	56.99	-39.34	-48.1	62.16	231
V _{Ma}	25.72	30.89	-44.4	54.09	305
M _{Ma}	49.99	75.76	-4.64	75.9	356
N _{Ma}	18.09	0.0	0.0	0.0	0
W _{Ma}	95.46	0.0	0.0	0.0	0
R _{CIE}	41.88	61.66	30.69	68.88	26
J _{CIE}	81.97	2.02	67.79	67.82	88
G _{CIE}	51.62	-41.32	9.74	42.46	167
B _{CIE}	29.2	-5.79	-49.61	49.96	263

%Umfang

$u^*_{rel} = 94$



1,00

%Umfang

$u^*_{rel} = 156$

0,75

%Umfang

$u^*_{rel} = 156$

0,50

%Umfang

$u^*_{rel} = 156$

0,25

%Umfang

$u^*_{rel} = 156$

0,00

%Umfang

$u^*_{rel} = 156$

n* = 1,0

%Umfang

$u^*_{rel} = 156$

PG400-7, 5stufige Reihen für konstanten CIELAB Bunnton 38/360 = 0.105 (links)

relative Buntheit c*

n* = 1,0

n* = 0,50

n* = 0,50

n* = 0,25

n* = 0,25

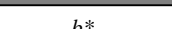
n* = 0,00

n* = 0,00

Ausgabe: Farbmétrisches Fernseh-Licht-System TLS00

für Bunton $h^* = lab^*h = 38/360 = 0.107$

lab^*tch und lab^*nch



D50: Bunton O

LCH*Ma: 54 101 38

olv*Ma: 1.0 0.0 0.0

Dreiecks-Helligkeit

%Umfang

$u^*_{rel} = 156$

1,00

%Regularität

$g^*_{H,rel} = 65$

$g^*_{C,rel} = 60$

0,75

0,50

0,25

0,00

n* = 0,00

n* = 0,25

n* = 0,50

n* = 0,75

n* = 1,00

n* = 1,00

n* = 0,75

n* = 0,50

n* = 0,25

n* = 0,00

n* = 0,00

n* = 0,25

n* = 0,50

n* = 0,75

n* = 1,00

n* = 1,00

Dreiecks-Helligkeit

%Umfang

$u^*_{rel} = 156$

1,00

%Regularität

$g^*_{H,rel} = 26$

$g^*_{C,rel} = 45$

0,75

0,50

0,25

0,00

n* = 0,00

n* = 0,25

n* = 0,50

n* = 0,75

n* = 1,00

n* = 1,00

n* = 0,75

n* = 0,50

n* = 0,25

n* = 0,00

n* = 0,00

n* = 0,25

n* = 0,50

n* = 0,75

n* = 1,00

n* = 1,00

Dreiecks-Helligkeit

%Umfang

$u^*_{rel} = 156$

1,00

%Regularität

$g^*_{H,rel} = 26$

$g^*_{C,rel} = 45$

0,75

0,50

0,25

0,00

n* = 0,00

n* = 0,25

n* = 0,50

n* = 0,75

n* = 1,00

n* = 1,00

n* = 0,75

n* = 0,50

n* = 0,25

n* = 0,00

n* = 0,00

n* = 0,25

n* = 0,50

n* = 0,75

n* = 1,00

n* = 1,00

Dreiecks-Helligkeit

%Umfang

$u^*_{rel} = 156$

1,00

%Regularität

$g^*_{H,rel} = 26$

$g^*_{C,rel} = 45$

0,75

0,50

0,25

0,00

n* = 0,00

n* = 0,25

n* = 0,50

n* = 0,75

n* = 1,00

n* = 1,00

n* = 0,75

n* = 0,50

n* = 0,25

n* = 0,00

n* = 0,00

n* = 0,25

n* = 0,50

n* = 0,75

n* = 1,00

n* = 1,00

Dreiecks-Helligkeit

%Umfang

$u^*_{rel} = 156$

1,00

%Regularität

$g^*_{H,rel} = 26$

$g^*_{C,rel} = 45$

0,75

0,50

0,25

0,00

n* = 0,00

n* = 0,25

n* = 0,50

n* = 0,75

n* = 1,00

n* = 1,00

n* = 0,75

n* = 0,50

n* = 0,25

n* = 0,00

n* = 0,00

n* = 0,25

n* = 0,50

n* = 0,75

n* = 1,00

n* = 1,00

Dreiecks-Helligkeit

%Umfang

$u^*_{rel} = 156$

1,00

%Regularität

$g^*_{H,rel} = 26$

$g^*_{C,rel} = 45$

0,75

0,50

0,25

0,00

n* = 0,00

n* = 0,25

n* = 0,50

n* = 0,75

n* = 1,00

n* = 1,00

n* = 0,75

n* = 0,50

n* = 0,25

n* = 0,00

n* = 0,00

n* = 0,25

n* = 0,50

n* = 0,75

n* = 1,00

n* = 1,00

Dreiecks-Helligkeit

%Umfang

$u^*_{rel} = 156$

1,00

%Regularität

$g^*_{H,rel} = 26$

$g^*_{C,rel} = 45$

0,75

0,50

0,25

0,00

n* = 0,00

n* = 0,25

n* = 0,50

n* = 0,75

n* = 1,00

n* = 1,00

n* = 0,75

n* = 0,50

n* = 0,25

n* = 0,00

n* = 0,00

n* = 0,25

n* = 0,50

n* = 0,75

n* = 1,00

n* = 1,00

Dreiecks-Helligkeit

%Umfang

$u^*_{rel} = 156$

1,00

%Regularität

$g^*_{H,rel} = 26$

$g^*_{C,rel} =$

$n^* = 0,00$

Schwarzheit n^*

relative Buntheit c^*

$n^* = 0,00$

Schwarzheit n^*

relative Buntheit c^*

$n^* = 0,25$

Schwarzheit n^*

relative Buntheit c^*

$n^* = 0,25$

Schwarzheit n^*

relative Buntheit c^*

$n^* = 0,50$

Schwarzheit n^*

relative Buntheit c^*

$n^* = 0,50$

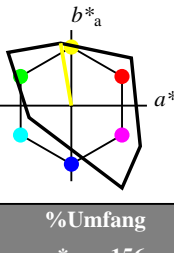
Schwarzheit n^*

relative Buntheit c^*

Ausgabe: Farbmétrisches Fernseh-Licht-System TLS00

für Bunton $h^* = lab^*h = 100/360 = 0.277$

lab^*tch und lab^*nch

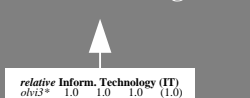


D50: Bunton Y

LCH*Ma: 93 84 100

olv*Ma: 1.0 1.0 0.0

Dreiecks-Helligkeit



%Umfang

$u^*_{rel} = 156$

%Regularität

$g^*_{H,rel} = 26$

$g^*_{C,rel} = 45$

relative Inform. Technology (IT)

$olv^3* 1.0 1.0 1.0 (1.0)$

$cmyn3* 0.0 0.0 0.0 (0.0)$

$olv^4* 1.0 1.0 1.0 (1.0)$

$cmyn4* 0.0 0.0 0.0 (0.0)$

standard and adapted CIELAB

$LAB^{*LAB} 94.99 30.64$

$LAB^{*TCh} 87.19 20.64$

$LAB^{*TCh} 94.42 -7.08 41.29$

$LAB^{*TCh} 94.42 -7.08$

Siehe ähnliche Dateien: <http://www.ps.bam.de/PG40/>
Technische Information: <http://www.ps.bam.de> Version 2.1, io=1, 1



-8
-6

v L o Y M C
www.ps.bam.de/PG40/10L/L40G02NP.PS/.PDF; Start-Ausgabe
N: Keine Ausgabe-Linearisierung (OL) in Datei (F), Startup (S), Gerät (D)

6
8

Eingabe: Farbmétrisches Offset-Reflektiv-System ORS18

für Bunton $h^* = lab^*h = 151/360 = 0.42$
 lab^*tch und lab^*nch

D50: Bunton L

LCH*Ma: 51 72 151

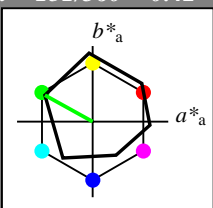
olv*Ma: 0.0 1.0 0.0

Dreiecks-Helligkeit

1,00

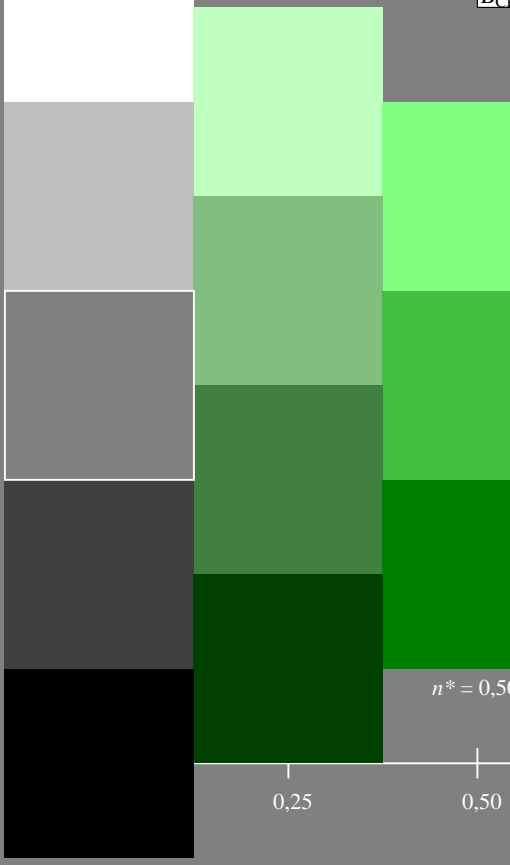
%Umfang

$u^*_{rel} = 94$



ORS18; adaptierte CIELAB-Daten

	$L^*=L^*_a$	a^*_a	b^*_a	$C^*_{ab,a}$	$h^*_{ab,a}$
O _{Ma}	47.94	65.05	50.54	82.38	38
Y _{Ma}	91.0	-4.72	90.58	90.7	93
L _{Ma}	50.9	-63.18	34.98	72.22	151
C _{Ma}	56.99	-39.34	-48.1	62.16	231
V _{Ma}	25.72	30.89	-44.4	54.09	305
M _{Ma}	49.99	75.76	-4.64	75.9	356
N _{Ma}	18.09	0.0	0.0	0.0	0
W _{Ma}	95.46	0.0	0.0	0.0	0
R _{CIE}	41.88	61.66	30.69	68.88	26
J _{CIE}	81.97	2.02	67.79	67.82	88
G _{CIE}	51.62	-41.32	9.74	42.46	167
B _{CIE}	29.2	-5.79	-49.61	49.96	263



%Regularität

$g^*_{H,rel} = 65$

$g^*_{C,rel} = 60$

relative CIELAB lab*

lab^*lab

lab^*tch

lab^*nch

lab^*lrc

lab^*nrc

lab^*lra

lab^*nra

lab^*lrb

lab^*nrb

lab^*lrc

lab^*nrc

Ausgabe: Farbmétrisches Fernseh-Licht-System TLS00

für Bunton $h^* = lab^*h = 140/360 = 0.389$

lab^*tch und lab^*nch

D50: Bunton L

LCH*Ma: 83 109 140

olv*Ma: 0.0 1.0 0.0

Dreiecks-Helligkeit

1,00

%Umfang

$u^*_{rel} = 156$

TLS00; adaptierte CIELAB-Daten

	$L^*=L^*_a$	a^*_a	b^*_a	$C^*_{ab,a}$	$h^*_{ab,a}$
O _{Ma}	54.19	79.36	63.0	101.33	38
Y _{Ma}	93.44	-14.18	82.59	83.8	100
L _{Ma}	82.82	-83.73	70.41	109.41	140
C _{Ma}	85.22	-55.9	-15.78	58.1	196
V _{Ma}	25.61	67.05	-108.87	127.87	302
M _{Ma}	58.76	91.18	-53.69	105.82	330
N _{Ma}	0.01	0.0	0.0	0.0	0
W _{Ma}	95.41	0.0	0.0	0.0	0
R _{CIE}	41.88	62.0	31.82	69.69	27
J _{CIE}	81.97	1.81	71.59	71.61	89
G _{CIE}	51.62	-41.11	11.52	42.7	164
B _{CIE}	29.2	-5.27	-49.33	49.62	264

%Regularität

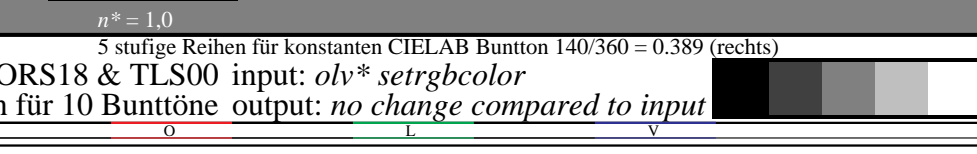
$g^*_{H,rel} = 26$

$g^*_{C,rel} = 45$

	$L^*=L^*_a$	a^*_a	b^*_a	$C^*_{ab,a}$	$h^*_{ab,a}$
O _{Ma}	0.5	0.5	0.5	0.5	(1,0)
Y _{Ma}	0.5	0.5	0.5	0.5	(0,0)
L _{Ma}	0.5	0.5	0.5	0.5	1,0
C _{Ma}	0.5	0.5	0.5	0.5	0,0
V _{Ma}	0.5	0.5	0.5	0.5	0,5
M _{Ma}	0.5	0.5	0.5	0.5	1,5
N _{Ma}	0.5	0.5	0.5	0.5	0,0
W _{Ma}	0.5	0.5	0.5	0.5	0,0
R _{CIE}	0.5	0.5	0.5	0.5	0,0
J _{CIE}	0.5	0.5	0.5	0.5	0,0
G _{CIE}	0.5	0.5	0.5	0.5	0,0
B _{CIE}	0.5	0.5	0.5	0.5	0,0

	$L^*=L^*_a$	a^*_a	b^*_a	$C^*_{ab,a}$	$h^*_{ab,a}$
O _{Ma}	0.5	0.5	0.5	0.5	(1,0)
Y _{Ma}	0.5	0.5	0.5	0.5	(0,0)
L _{Ma}	0.5	0.5	0.5	0.5	1,0
C _{Ma}	0.5	0.5	0.5	0.5	0,0
V _{Ma}	0.5	0.5	0.5	0.5	0,5
M _{Ma}	0.5	0.5	0.5	0.5	1,5
N _{Ma}	0.5	0.5	0.5	0.5	0,0
W _{Ma}	0.5	0.5	0.5	0.5	0,0
R _{CIE}	0.5	0.5	0.5	0.5	0,0
J _{CIE}	0.5	0.5	0.5	0.5	0,0
G _{CIE}	0.5	0.5	0.5	0.5	0,0
B _{CIE}	0.5	0.5	0.5	0.5	0,0

	$L^*=L^*_a$	a^*_a	b^*_a	$C^*_{ab,a}$	$h^*_{ab,a}$
O _{Ma}	0.5	0.5	0.5	0.5	(1,0)
Y _{Ma}	0.5	0.5	0.5	0.5	(0,0)
L _{Ma}	0.5	0.5	0.5	0.5	1,0
C _{Ma}	0.5	0.5	0.5	0.5	0,0
V _{Ma}	0.5	0.5	0.5	0.5	0,5
M _{Ma}	0.5	0.5	0.5	0.5	1,5
N _{Ma}	0.5	0.5	0.5	0.5	0,0
W _{Ma}	0.5	0.5	0.5	0.5	0,0
R _{CIE}	0.5	0.5	0.5	0.5	0,0
J _{CIE}	0.5	0.5	0.5	0.5	0,0
G _{CIE}	0.5	0.5	0.5	0.5	0,0
B _{CIE}	0.5	0.5	0.5	0.5	0,0



$n^* = 0,00$

$n^* = 0,25$

$n^* = 0,50$

$n^* = 0,75$

$n^* = 1,00$

$n^* = 1,25$

$n^* = 1,50$

$n^* = 1,75$

$n^* = 1,90$

$n^* = 2,00$

$n^* = 2,25$

$n^* = 2,50$

$n^* = 2,75$

$n^* = 2,90$

$n^* = 3,00$

$n^* = 3,25$

$n^* = 3,50$

$n^* = 3,75$

$n^* = 4,00$

$n^* = 4,25$

$n^* = 4,50$

$n^* = 4,75$

$n^* = 5,00$

$n^* = 5,25$

$n^* = 5,50$

$n^* = 5,75$

$n^* = 6,00$

$n^* = 6,25$

$n^* = 6,50$

$n^* = 6,75$

$n^* = 7,00$

$n^* = 7,25$

$n^* = 7,50$

$n^* = 7,75$

$n^* = 8,00$

$n^* = 8,25$

$n^* = 8,50$

$n^* = 8,75$

$n^* = 9,00$

$n^* = 9,25$

$n^* = 9,50$

$n^* = 9,75$

$n^* = 10,00$

$n^* = 10,25$

$n^* = 10,50$

$n^* = 10,75$

$n^* = 11,00$

$n^* = 11,25$

$n^* = 11,50$

$n^* = 11,75$

$n^* = 12,00$

$n^* = 12,25$

$n^* = 12,50$

$n^* = 12,75$

$n^* = 13,00$

Siehe ähnliche Dateien: <http://www.ps.bam.de/PG40/>
Technische Information: <http://www.ps.bam.de> Version 2.1, io=1, 1



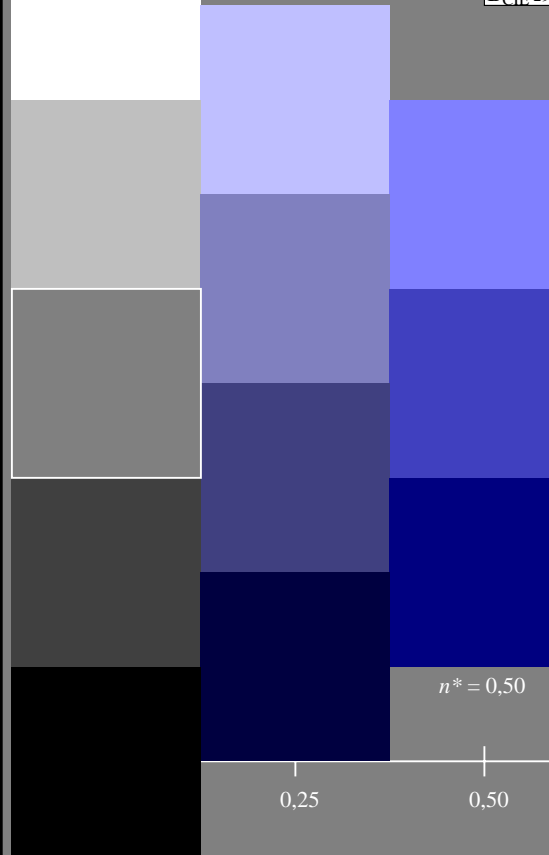
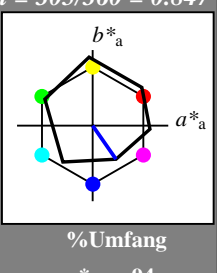
v L o Y M C www.ps.bam.de/PG40/10L/L40G04NP.PS./PDF; Start-Ausgabe
N: Keine Ausgabe-Linearisierung (OL) in Datei (F), Startup (S), Gerät (D)

Eingabe: Farbmétrisches Offset-Reflektiv-System ORS18

für Bunnton $h^* = lab^*h = 305/360 = 0.847$
 lab^*tch und lab^*nch

D50: Bunnton V
LCH*Ma: 26 54 305
olv*Ma: 0.0 0.0 1.0

Dreiecks-Helligkeit



relative Buntheit c^*

$n^* = 1,0$

ORS18; adaptierte CIELAB-Daten

	$L^*=L^*_a$	a^*_a	b^*_a	$C^*_{ab,a}$	$h^*_{ab,a}$
O _{Ma}	47.94	65.05	50.54	82.38	38
Y _{Ma}	91.0	-4.72	90.58	90.7	93
L _{Ma}	50.9	-63.18	34.98	72.22	151
C _{Ma}	56.99	-39.34	-48.1	62.16	231
V _{Ma}	25.72	30.89	-44.4	54.09	305
M _{Ma}	49.99	75.76	-4.64	75.9	356
N _{Ma}	18.09	0.0	0.0	0.0	0
W _{Ma}	95.46	0.0	0.0	0.0	0
R _{CIE}	41.88	61.66	30.69	68.88	26
J _{CIE}	81.97	2.02	67.79	67.82	88
G _{CIE}	51.62	-41.32	9.74	42.46	167
B _{CIE}	29.2	-5.79	-49.61	49.96	263

Ausgabe: Farbmétrisches Fernseh-Licht-System TLS00

für Bunnton $h^* = lab^*h = 302/360 = 0.838$

lab^*tch und lab^*nch

D50: Bunnton V

LCH*Ma: 26 128 302

olv*Ma: 0.0 0.0 1.0

Dreiecks-Helligkeit

TLS00; adaptierte CIELAB-Daten

	$L^*=L^*_a$	a^*_a	b^*_a	$C^*_{ab,a}$	$h^*_{ab,a}$
O _{Ma}	54.19	79.36	63.0	101.33	38
Y _{Ma}	93.44	-14.18	82.59	83.8	100
L _{Ma}	82.82	-83.73	70.41	109.41	140
C _{Ma}	85.22	-55.9	-15.78	58.1	196
V _{Ma}	25.61	67.05	-108.87	127.87	302
M _{Ma}	58.76	91.18	-53.69	105.82	330
N _{Ma}	0.01	0.0	0.0	0.0	0
W _{Ma}	95.41	0.0	0.0	0.0	0
R _{CIE}	41.88	62.0	31.82	69.69	27
J _{CIE}	81.97	1.81	71.59	71.61	89
G _{CIE}	51.62	-41.11	11.52	42.7	164
B _{CIE}	29.2	-5.27	-49.33	49.62	264

%Regularität

$g^*_{H,rel} = 26$

$g^*_{C,rel} = 45$

%Regularität

$g^*_{H,rel} = 65$

$g^*_{C,rel} = 60$

%Regularität

$g^*_{H,rel} = 26$

$g^*_{C,rel} = 45$

%Regularität

$g^*_{H,rel} = 65$

$g^*_{C,rel} = 60$

%Regularität

$g^*_{H,rel} = 26$

$g^*_{C,rel} = 45$

%Regularität

Siehe ähnliche Dateien: <http://www.ps.bam.de/PG40/>
Technische Information: <http://www.ps.bam.de> Version 2.1, io=1, 1











































































































































































































































































































































Eingabe: Farbmétrisches Offset-Reflektiv-System ORS18
für Bunton $h^* = lab^*h = 26/360 = 0.074$

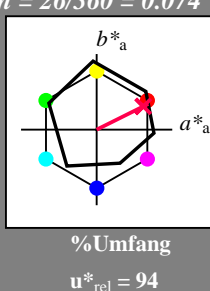
lab^*tch und lab^*nch

D50: Bunton R

LCH*Ma: 49 76 26

olv*Ma: 1.0 0.0 0.3

Dreiecks-Helligkeit



ORS18; adaptierte CIELAB-Daten

	$L^*=L^*_a$	a^*_a	b^*_a	$C^*_{ab,a}$	$h^*_{ab,a}$
O _{Ma}	47.94	65.05	50.54	82.38	38
Y _{Ma}	91.0	-4.72	90.58	90.7	93
L _{Ma}	50.9	-63.18	34.98	72.22	151
C _{Ma}	56.99	-39.34	-48.1	62.16	231
V _{Ma}	25.72	30.89	-44.4	54.09	305
M _{Ma}	49.99	75.76	-4.64	75.9	356
N _{Ma}	18.09	0.0	0.0	0.0	0
W _{Ma}	95.46	0.0	0.0	0.0	0
R _{CIE}	41.88	61.66	30.69	68.88	26
J _{CIE}	81.97	2.02	67.79	67.82	88
G _{CIE}	51.62	-41.32	9.74	42.46	167
B _{CIE}	29.2	-5.79	-49.61	49.96	263

1,00

%Umfang

$u^*_{rel} = 94$



$n^* = 1,0$



$n^* = 0,50$



$n^* = 0,25$



$n^* = 0,00$



$n^* = 0,25$



$n^* = 0,50$



$n^* = 0,75$



$n^* = 1,00$

%Regularität

$g^*_{H,rel} = 65$

$g^*_{C,rel} = 60$



1,00

%Umfang

$u^*_{rel} = 156$



0,75

%Umfang

$u^*_{rel} = 26$



0,50

%Umfang

$u^*_{rel} = 27$



0,25

%Umfang

$u^*_{rel} = 27$



0,00

%Umfang

$u^*_{rel} = 27$



Ausgabe: Farbmétrisches Fernseh-Licht-System TLS00

für Bunton $h^* = lab^*h = 27/360 = 0.075$

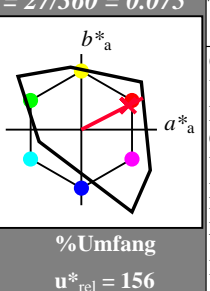
lab^*tch und lab^*nch

D50: Bunton R

LCH*Ma: 55 92 27

olv*Ma: 1.0 0.0 0.18

Dreiecks-Helligkeit



TLS00; adaptierte CIELAB-Daten

	$L^*=L^*_a$	a^*_a	b^*_a	$C^*_{ab,a}$	$h^*_{ab,a}$
O _{Ma}	54.19	79.36	63.0	101.33	38
Y _{Ma}	93.44	-14.18	82.59	83.8	100
L _{Ma}	82.82	-83.73	70.41	109.41	140
C _{Ma}	85.22	-55.9	-15.78	58.1	196
V _{Ma}	25.61	67.05	-108.87	127.87	302
M _{Ma}	58.76	91.18	-53.69	105.82	330
N _{Ma}	0.01	0.0	0.0	0.0	0
W _{Ma}	95.41	0.0	0.0	0.0	0
R _{CIE}	41.88	62.0	31.82	69.69	27
J _{CIE}	81.97	1.81	71.59	71.61	89
G _{CIE}	51.62	-41.11	11.52	42.7	164
B _{CIE}	29.2	-5.27	-49.33	49.62	264

%Regularität

$g^*_{H,rel} = 26$

$g^*_{C,rel} = 45$



0,75

%Umfang

$u^*_{rel} = 27$



0,50

%Umfang

$u^*_{rel} = 27$



0,25

%Umfang

$u^*_{rel} = 27$



0,00

%Umfang

$u^*_{rel} = 27$



0,00

%Umfang

$u^*_{rel} = 27$



0,00

%Umfang

$u^*_{rel} = 27$

0,00

%Umfang

Siehe ähnliche Dateien: <http://www.ps.bam.de/PG40/>
 Technische Information: <http://www.ps.bam.de> Version 2.1, io=1, 1

Eingabe: Farbmétrisches Offset-Reflektiv-System ORS18

für Bunton $h^* = lab^*h = 167/360 = 0.463$

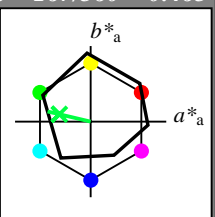
lab^*tch und lab^*nch

D50: Bunton G

LCH*Ma: 52 59 167

olv*Ma: 0.0 1.0 0.26

Dreiecks-Helligkeit

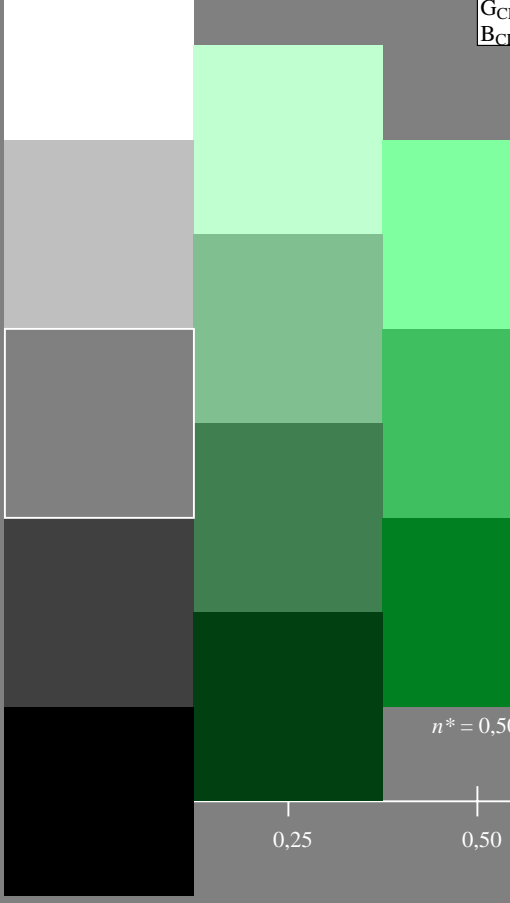


%Umfang

$u^*_{rel} = 94$

ORS18; adaptierte CIELAB-Daten

	$L^*=L^*_a$	a^*_a	b^*_a	$C^*_{ab,a}$	$h^*_{ab,a}$
O _{Ma}	47.94	65.05	50.54	82.38	38
Y _{Ma}	91.0	-4.72	90.58	90.7	93
L _{Ma}	50.9	-63.18	34.98	72.22	151
C _{Ma}	56.99	-39.34	-48.1	62.16	231
V _{Ma}	25.72	30.89	-44.4	54.09	305
M _{Ma}	49.99	75.76	-4.64	75.9	356
N _{Ma}	18.09	0.0	0.0	0.0	0
W _{Ma}	95.46	0.0	0.0	0.0	0
R _{CIE}	41.88	61.66	30.69	68.88	26
J _{CIE}	81.97	2.02	67.79	67.82	88
G _{CIE}	51.62	-41.32	9.74	42.46	167
B _{CIE}	29.2	-5.79	-49.61	49.96	263



$n^* = 1,0$

%Regularität

$g^*_{H,rel} = 65$

$g^*_{C,rel} = 60$

relative CIELAB lab*

lab^*tch

lab^*nch

lab^*G

lab^*Ma

lab^*TCh

lab^*Irr

lab^*Irc

lab^*ncE

lab^*ncB

lab^*ncA

lab^*ncM

lab^*ncL

lab^*ncV

lab^*ncO

lab^*ncR

lab^*ncP

lab^*ncF

lab^*ncD

lab^*ncN

lab^*ncS

lab^*ncI

lab^*ncH

lab^*ncG

lab^*ncJ

lab^*ncK

lab^*ncL

lab^*ncM

lab^*ncV

lab^*ncO

lab^*ncR

lab^*ncP

lab^*ncF

lab^*ncD

lab^*ncN

lab^*ncS

lab^*ncI

lab^*ncH

lab^*ncG

lab^*ncJ

lab^*ncK

lab^*ncL

lab^*ncM

lab^*ncV

lab^*ncO

lab^*ncR

lab^*ncP

lab^*ncF

lab^*ncD

lab^*ncN

lab^*ncS

lab^*ncI

lab^*ncH

lab^*ncG

lab^*ncJ

lab^*ncK

lab^*ncL

lab^*ncM

lab^*ncV

lab^*ncO

lab^*ncR

lab^*ncP

lab^*ncF

lab^*ncD

lab^*ncN

lab^*ncS

lab^*ncI

lab^*ncH

lab^*ncG

lab^*ncJ

lab^*ncK

lab^*ncL

lab^*ncM

lab^*ncV

lab^*ncO

lab^*ncR

lab^*ncP

lab^*ncF

lab^*ncD

lab^*ncN

lab^*ncS

lab^*ncI

lab^*ncH

lab^*ncG

lab^*ncJ

lab^*ncK

lab^*ncL

lab^*ncM

lab^*ncV

lab^*ncO

lab^*ncR

lab^*ncP

lab^*ncF

lab^*ncD

lab^*ncN

lab^*ncS

lab^*ncI

lab^*ncH

lab^*ncG

lab^*ncJ

lab^*ncK

lab^*ncL

lab^*ncM

lab^*ncV

lab^*ncO

lab^*ncR

lab^*ncP

lab^*ncF

lab^*ncD

lab^*ncN

lab^*ncS

lab^*ncI

lab^*ncH

lab^*ncG

lab^*ncJ

lab^*ncK

lab^*ncL

lab^*ncM

lab^*ncV

lab^*ncO

lab^*ncR

lab^*ncP

lab^*ncF

lab^*ncD

lab^*ncN

lab^*ncS

lab^*ncI

lab^*ncH

lab^*ncG

lab^*ncJ

lab^*ncK

lab^*ncL

lab^*ncM

lab^*ncV

lab^*ncO

lab^*ncR

lab^*ncP

lab^*ncF

lab^*ncD

lab^*ncN

lab^*ncS

lab^*ncI

lab^*ncH

lab^*ncG

lab^*ncJ

lab^*ncK

lab^*ncL

lab^*ncM

lab^*ncV

lab^*ncO

lab^*ncR

lab^*ncP

lab^*ncF

lab^*ncD

lab^*ncN

lab^*ncS

lab^*ncI

lab^*ncH

lab^*ncG

lab^*ncJ

lab^*ncK

lab^*ncL

lab^*ncM

lab^*ncV

lab^*ncO

lab^*ncR

lab^*ncP

lab^*ncF

lab^*ncD

lab^*ncN

lab^*ncS

lab^*ncI

lab^*ncH

lab^*ncG

lab^*ncJ

lab^*ncK

lab^*ncL

lab^*ncM

lab^*ncV

lab^*ncO

lab^*ncR

lab^*ncP

lab^*ncF

lab^*ncD

lab^*ncN

lab^*ncS

lab^*ncI

lab^*ncH

lab^*ncG

lab^*ncJ

lab^*ncK

lab^*ncL

lab^*ncM

lab^*ncV

lab^*ncO

lab^*ncR

lab^*ncP

lab^*ncF

lab^*ncD

lab^*ncN

lab^*ncS

lab^*ncI

lab^*ncH

lab^*ncG

Siehe ähnliche Dateien: <http://www.ps.bam.de/PG40/>
Technische Information: <http://www.ps.bam.de> Version 2.1, io=1, 1

Eingabe: Farbmétrisches Offset-Reflektiv-System ORS18

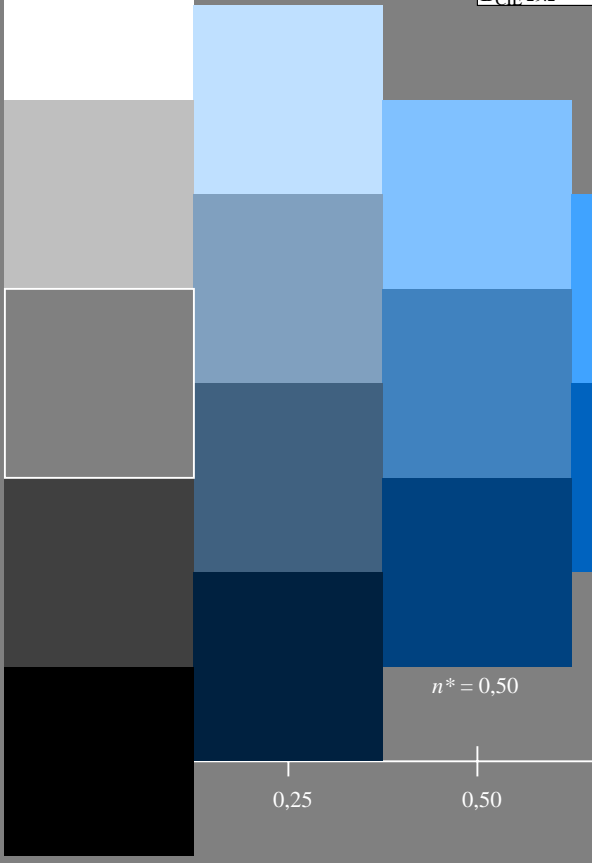
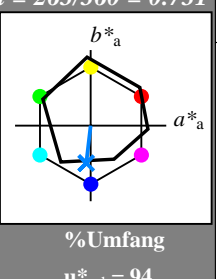
für Bunton $h^* = lab^*h = 263/360 = 0.731$
 lab^*tch und lab^*nch

D50: Bunton B

LCH*Ma: 42 47 263

olv*Ma: 0.0 0.52 1.0

Dreiecks-Helligkeit



ORS18; adaptierte CIELAB-Daten

	$L^*=L^*_a$	a^*_a	b^*_a	$C^*_{ab,a}$	$h^*_{ab,a}$
O _{Ma}	47.94	65.05	50.54	82.38	38
Y _{Ma}	91.0	-4.72	90.58	90.7	93
L _{Ma}	50.9	-63.18	34.98	72.22	151
C _{Ma}	56.99	-39.34	-48.1	62.16	231
V _{Ma}	25.72	30.89	-44.4	54.09	305
M _{Ma}	49.99	75.76	-4.64	75.9	356
N _{Ma}	18.09	0.0	0.0	0.0	0
W _{Ma}	95.46	0.0	0.0	0.0	0
R _{CIE}	41.88	61.66	30.69	68.88	26
J _{CIE}	81.97	2.02	67.79	67.82	88
G _{CIE}	51.62	-41.32	9.74	42.46	167
B _{CIE}	29.2	-5.79	-49.61	49.96	263

Ausgabe: Farbmétrisches Fernseh-Licht-System TLS00

für Bunton $h^* = lab^*h = 264/360 = 0.733$

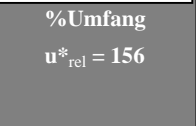
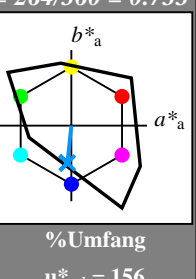
lab^*tch und lab^*nch

D50: Bunton B

LCH*Ma: 61 54 264

olv*Ma: 0.0 0.59 1.0

Dreiecks-Helligkeit



%Regularität

$g^*_{H,rel} = 65$

$g^*_{C,rel} = 60$

relative Inform. Technology (IT)

$olv^3* 1.0 1.0 1.0 (1.0)$

$cmyn3* 0.5 0.5 0.5 (0.0)$

$olv^4* 1.0 1.0 1.0 (0.0)$

$cmyn4* 0.0 0.0 0.0 (0.0)$

standard and adapted CIELAB

$LAB^*LAB 0.0 0.0 0.0$

$LAB^*LCh 95.41 0.0 0.0$

$LAB^*TCh 99.99 0.01$

relative CIELAB lab*

$lab^*lab 0.0 0.0 0.0$

$lab^*tch 1.0 0.0 0.0$

$lab^*nch 0.0 0.0 0.0$

relative Natural Colour (NC)

$lab^*lrc 0.0 0.0 0.0$

$lab^*nrc 1.0 0.0 0.0$

$lab^*nrcE 0.0 0.0 0.0$

standard and adapted CIELAB

$LAB^*LAB 71.57 0.0 0.0$

$LAB^*LCh 71.57 0.0 0.0$

$LAB^*TCh 75.01 0.0 0.0$

relative CIELAB l*

$lab^*l* 0.5 0.0 0.0$

$lab^*t* 0.5 0.0 0.0$

$lab^*n* 0.5 0.0 0.0$

relative Natural Colour (NC)

$lab^*l'rc 0.75 0.0 0.0$

$lab^*n'rc 0.25 0.0 0.0$

$lab^*n'rcE 0.25 0.0 0.0$

standard and adapted CIELAB

$LAB^*LAB 47.72 0.0 0.0$

$LAB^*LCh 47.72 0.0 0.0$

$LAB^*TCh 50.01 0.0 0.0$

relative CIELAB lab*

$lab^*lab 0.66 0.0 -0.0248$

$lab^*tch 0.25 0.0 0.0$

$lab^*nch 0.25 0.0 0.0$

relative Natural Colour (NC)

$lab^*l'rc 0.66 0.0 -0.249$

$lab^*n'rc 0.25 0.0 0.0$

$lab^*n'rcE 0.25 0.0 0.0$

standard and adapted CIELAB

$LAB^*LAB 62.93 -1.43 -13.43$

$LAB^*LCh 62.93 -1.43 -13.43$

$LAB^*TCh 62.52 -1.32 -13.89$

relative CIELAB l*

$lab^*l* 0.66 0.0 -0.248$

$lab^*t* 0.25 0.0 0.0$

$lab^*n* 0.25 0.0 0.0$

relative Natural Colour (NC)

$lab^*l'rc 0.66 0.0 -0.249$

$lab^*n'rc 0.25 0.0 0.0$

$lab^*n'rcE 0.25 0.0 0.0$

standard and adapted CIELAB

$LAB^*LAB 69.31 -2.87 -26.86$

$LAB^*LCh 78.15 -2.87 -26.86$

$LAB^*TCh 77.02 -27.02 263.88$

relative CIELAB lab*

$lab^*lab 0.72 0.0 -0.0745$

$lab^*tch 0.25 0.0 0.0$

$lab^*nch 0.25 0.0 0.0$

relative Natural Colour (NC)

$lab^*l'rc 0.729 0.0 0.0$

$lab^*n'rc 0.25 0.0 0.0$

$lab^*n'rcE 0.25 0.0 0.0$

relative CIELAB lab*

$lab^*lab 0.729 0.0 0.0$

$lab^*tch 0.25 0.0 0.0$

$lab^*nch 0.25 0.0 0.0$

relative Natural Colour (NC)

$lab^*l'rc 0.729 0.0 0.0$

$lab^*n'rc 0.25 0.0 0.0$

$lab^*n'rcE 0.25 0.0 0.0$

relative CIELAB lab*

$lab^*lab 0.729 0.0 0.0$

$lab^*tch 0.25 0.0 0.0$

$lab^*nch 0.25 0.0 0.0$

relative Natural Colour (NC)

$lab^*l'rc 0.729 0.0 0.0$

$lab^*n'rc 0.25 0.0 0.0$

$lab^*n'rcE 0.25 0.0 0.0$

relative CIELAB lab*

$lab^*lab 0.729 0.0 0.0$

$lab^*tch 0.25 0.0 0.0$

$lab^*nch 0.25 0.0 0.0$

relative Natural Colour (NC)

$lab^*l'rc 0.729 0.0 0.0$

$lab^*n'rc 0.25 0.0 0.0$

$lab^*n'rcE 0.25 0.0 0.0$

relative CIELAB lab*

$lab^*lab 0.729 0.0 0.0$

$lab^*tch 0.25 0.0 0.0$

$lab^*nch 0.25 0.0 0.0$

relative Natural Colour (NC)

$lab^*l'rc 0.729 0.0 0.0$

$lab^*n'rc 0.25 0.0 0.0$

$lab^*n'rcE 0.25 0.0 0.0$

relative CIELAB lab*

$lab^*lab 0.729 0.0 0.0$

$lab^*tch 0.25 0.0 0.0$

$lab^*nch 0.25 0.0 0.0$

relative Natural Colour (NC)

$lab^*l'rc 0.729 0.0 0.0$

$lab^*n'rc 0.25 0.0 0.0$

$lab^*n'rcE 0.25 0.0 0.0$

relative CIELAB lab*

$lab^*lab 0.729 0.0 0.0$

$lab^*tch 0.25 0.0 0.0$

$lab^*nch 0.25 0.0 0.0$

relative Natural Colour (NC)

$lab^*l'rc 0.729 0.0 0.0$

$lab^*n'rc 0.25 0.0 0.0$

$lab^*n'rcE 0.25 0.0 0.0$

relative CIELAB lab*

$lab^*lab 0.729 0.0 0.0$

$lab^*tch 0.25 0.0 0.0$

$lab^*nch 0.25 0.0 0.0$

relative Natural Colour (NC)

$lab^*l'rc 0.729 0.0 0.0$

$lab^*n'rc 0.25 0.0 0.0$

$lab^*n'rcE 0.25 0.0 0.0$

relative CIELAB lab*

$lab^*lab 0.729 0.0 0.0$

$lab^*tch 0.25 0.0 0.0$

$lab^*nch 0.25 0.0 0.0$

relative Natural Colour (NC)

$lab^*l'rc 0.729 0.0 0.0$

$lab^*n'rc 0.25 0.0 0.0$

$lab^*n'rcE 0.25 0.0 0.0$

relative CIELAB lab*

$lab^*lab 0.729 0.0 0.0$

$lab^*tch 0.25 0.0 0.0$

$lab^*nch 0.25 0.0 0.0$

relative Natural Colour (NC)

$lab^*l'rc 0.729 0.0 0.0$

$lab^*n'rc 0.25 0.0 0.0$

$lab^*n'rcE 0.25 0.0 0.0$

relative CIELAB lab*

$lab^*lab 0.729 0.0 0.0$

$lab^*tch 0.25 0.0 0.0$

$lab^*nch 0.25 0.0 0.0$

relative Natural Colour (NC)

$lab^*l'rc 0.729 0.0 0.0$

$lab^*n'rc 0.25 0.0 0.0$

$lab^*n'rcE 0.25 0.0 0.0$

relative CIELAB lab*

$lab^*lab 0.729 0.0 0.0$

$lab^*tch 0.25 0.0 0.0$

$lab^*nch 0.25 0.0 0.0$

relative Natural Colour (NC)

$lab^*l'rc 0.729 0.0 0.0$

$lab^*n'rc 0.25 0.0 0.0$

$lab^*n'rcE 0.25 0.0 0.0$

relative CIELAB lab*

$lab^*lab 0.729 0.0 0.0$

$lab^*tch 0.25 0.0 0.0$

$lab^*nch 0.25 0.0 0.0$

relative Natural Colour (NC)

$lab^*l'rc 0.729 0.0 0.0$

$lab^*n'rc 0.25 0.0 0.0$